

Измерение плотности плазмы на экспериментальном стенде КРОТ зондом с СВЧ-резонатором

Виноградов И.Д. Понур К.А. Шиков А.П.

Радиофизический факультет ННГУ, 430 группа

Нижний Новгород, 2018

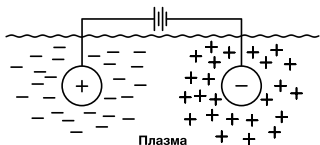
Цели работы

- 1 Изучить принцип работы зонда с СВЧ-резонатором.
- 2 Измерить зависимость локальной концентрации плазмы от расстояния до центра генерации.
- 3 Изучить временную зависимость концентрации для распадающейся плазмы.

Актуальность работы

- 1 Изучение космического окружения Земли. Например, изучение ионосферы.
- 2 Современная астрофизика. Например, для предсказания хода эволюции галактик применялась кинетическая теория плазмы.
- 3 МГД-преобразование энергии и ионные двигатели.
- 4 Накачка газового лазера газовым разрядом.
- 5 Газоразрядные электронные приборы.

Радиус Дебая



Дебаевское экранирование

Предположим, что мы попытались создать электрическое поле внутри плазмы, поместив в неё два шарика, соединив их батарейкой. Рассмотрим пространство вокруг положительно заряженного шарика.

Электрическое поле \vec{E} и плотность электрического заряда ρ связаны соотношением:

$$\operatorname{div} \vec{E} = 4\pi\rho \quad (1)$$

$$\Delta\varphi = -4\pi\rho, \Delta - \text{оператор Лапласа} \quad (2)$$

Распределение электронов, а значит, и их пространственного заряда ρ_e описывается формулой Больцмана:

$$\rho_e = Ne \cdot \exp\left\{-\frac{e\varphi}{kT_e}\right\}. \quad (3)$$

Радиус Дебая (продолжение)

$$\frac{d^2\varphi}{dt^2} + \frac{2}{r} \frac{d\varphi}{dr} = -4\pi N e \left[1 - \exp\left\{ -\frac{e\varphi}{kT_e} \right\} \right] \quad (4)$$

При $\frac{e\varphi}{kT_e} \ll 1$ можем разложить экспоненту в ряд и (4) станет линейным:

$$\frac{d^2\varphi}{dt^2} + \frac{2}{r} \frac{d\varphi}{dr} = \frac{1}{r_D^2} \varphi, \quad (5)$$

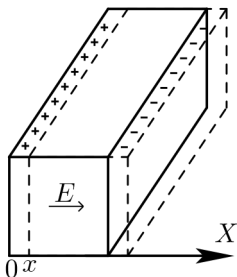
где $r_D^2 = \frac{kT_e}{4\pi N e^2}$. Тогда, решение (5) имеет вид

$$\varphi = \frac{A_0}{r} \cdot e^{-r/r_D} \quad (6)$$

Решение уравнения (6) показывает, что поле иона убывает с расстоянием экспоненциально с характерной длиной, равной r_D – дебаевскому радиусу экранирования.

Плазму можно считать **квазинейтральной** в областях, размеры которых существенно превосходят дебаевскую длину.

Плазменная частота



Объем, занимаемый ионами обозначен сплошной линией, а электронами – пунктирной.

Сместим все электроны на x относительно ионов. Тогда на гранях выделенного нами параллелепипеда возникнут поверхностные заряды:

$$\sigma = Nex, \quad (7)$$

где N – концентрация электронов

$$E = 4\pi\sigma = 4\pi Nex \quad (8)$$

Это поле действует на электроны, придавая им ускорение, равное

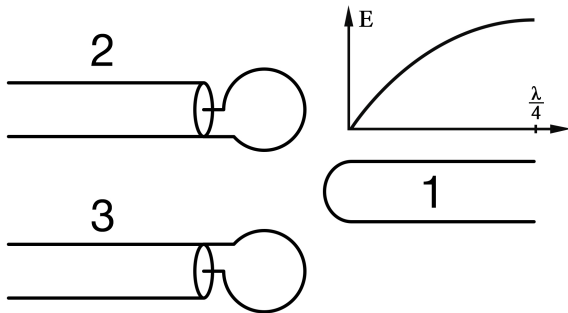
$$\frac{d^2x}{dt^2} = \frac{eE}{m_e} = \frac{4\pi Ne^2}{m_e} x \quad (9)$$

Уравнение (9) определяет плазменную частоту коллективных колебаний электронов:

$$\omega_p = \sqrt{\frac{4\pi Ne^2}{m_e}} \quad (10)$$

Зонд с СВЧ-резонатором

Идея метода замера локальной плотности плазмы заключается в измерении собственной частоты резонатора, помещенного в неё. В нашем случае резонатором является четвертьволновый отрезок двупроводной линии (четвертьволновый резонатор), замкнутый на одном конце и разомкнутый на другом.



Четвертьволновый резонатор

1- двупроводная линия 2- передающая линия 3- принимающая линия

Существующие методы диагностики плазмы

Контактные методы

- 1 Зонды Ленгмюра
- 2 Рамочные и электрические сбалансированные системы
- 3 Зонд с СВЧ-резонатором

Преимущества:

Возможность локальных измерений

Недостатки:

Вносят возмущения в плазму

Бесконтактные методы

- 1 Интерферометр
- 2 Метод "резонансного конуса"

Преимущества:

Измерения не влияют на измеряемые величины

Недостатки:

Невозможность локальных измерений

Зонд с СВЧ-резонатором

$$\omega_{res} = \left(\frac{\pi}{2l} \right) \frac{c}{\sqrt{\varepsilon}}, \quad (11)$$

где ω_{res} – собственная частота резонатора.

В плазме:

$$\varepsilon = \varepsilon(\omega) = 1 - \frac{\omega^2}{\omega_p^2}.$$

Тогда сдвиг резонансной частоты по сравнению с вакуумом:

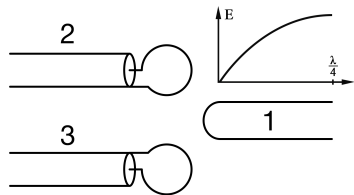
$$\omega_{res}^2 = \omega_{0res}^2 + \omega_p^2,$$

где ω_{0res} – собственная частота резонатора в вакууме, а ω_p – плазменная частота

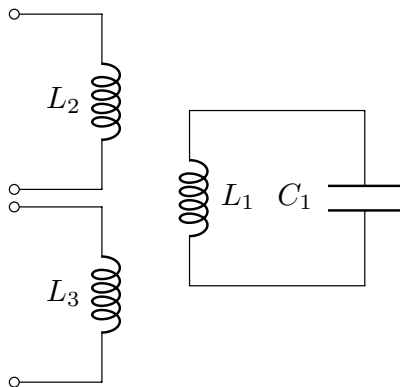
При этом концентрация однозначно связана с плазменной частотой:

$$N = \frac{m_e \omega_p^2}{4\pi e^2} \quad (12)$$

Зонд с СВЧ-резонатором



СВЧ-резонатор



Эквивалентная схема резонатора

1- двупроводная линия

2- передающая линия

3- принимающая линия

Недостатки зонда с СВЧ-резонатором

- 1 Контактный метод измерения приводит к возмущению некоторой области около зонда. Характерный размер такой области определяется дебаевским радиусом экранирования и, как правило, оказывается существенно меньше размеров плазменного объема.
- 2 Нелинейные свойства и гистерезисные явления. При сильных СВЧ-полях плазма вытесняется из области между проводами резонатора.

Преимущества зонда с СВЧ-резонатором

- 1 Позволяет определять локальное, слабозмущенное значение плотности плазмы.
- 2 В сравнении с ленгмюровскими зондами, результаты измерений с помощью зонда с СВЧ-резонатором не зависят в допустимых пределах от электронной температуры плазмы.

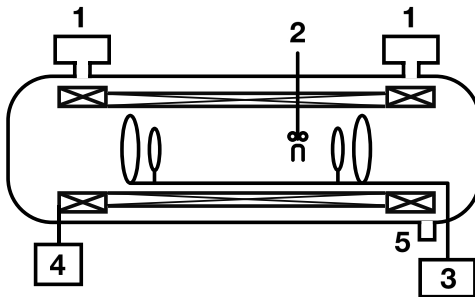
Экспериментальная установка КРОТ

Размеры камеры: диаметр 3 м, длина 10 м.

Размеры соленоида: длина 3.5 м, диаметр 2 м.

Магнитное поле достигает величины $B \approx 1000$ Эрстед.

Предельный вакуум, достигаемый в объеме камеры $P = 3 \cdot 10^{-6}$ Торр.

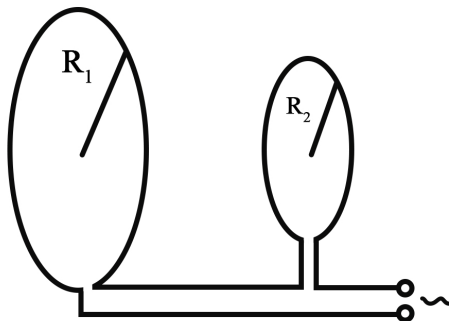


1 - вакуумная откачка, 2 - зонд с СВЧ-резонатором, 3 - ВЧ-генератор, 4 - соленоид с источником магнитного поля, 5 - напуск рабочего газа.

Генерация плазмы в КРОТе

Для генерации плазмы используется индукционный газовый разряд, осуществляемый при помощи высокочастотных вихревых электрических полей, создаваемых катушками индуктивности, расположенными внутри установки.

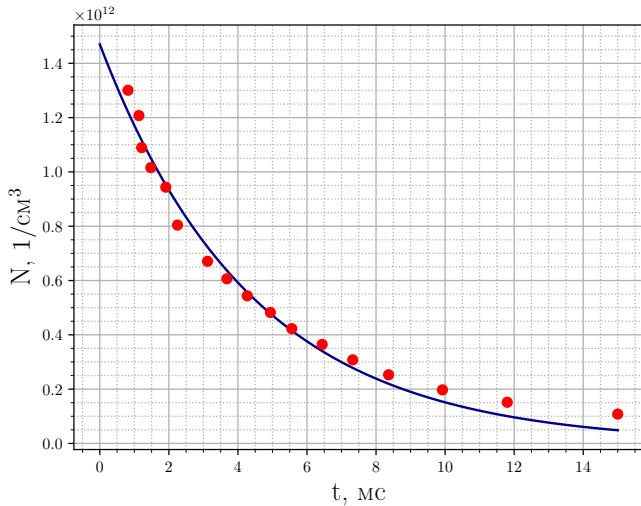
Диаметр витков: $R_1 = 0.4$ м $R_2 = 1.2$ м



Индукторы для генерации плазмы

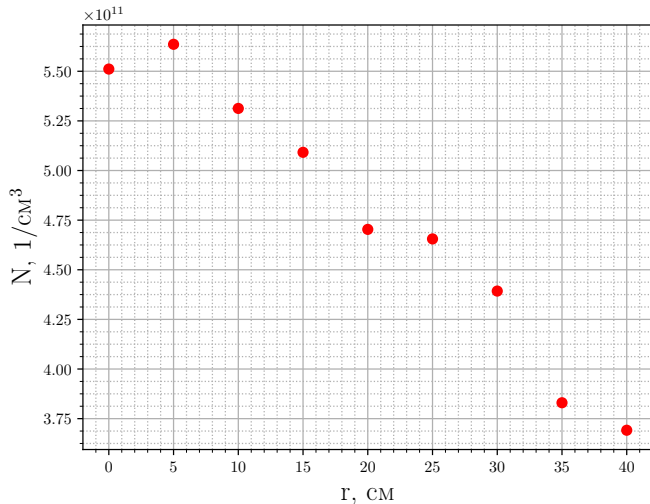
Распад плазмы

Из графика определили характерное время распада $\tau_N = 4.4$ мс.



Зависимость на радиальной оси

Время после отключения ВЧ-генератора $t = 4.13$ мс



Выводы

- 1 Был изучен принцип работы зонда с СВЧ-резонатором
- 2 Была измерена зависимость локальной концентрации плазмы от расстояния до центра генерации
- 3 Была изучена временная зависимость концентрации распадающейся плазмы